

吸い込みのまわりの渦流の発生とその構造

東工大 理 川久保達之

§ 1 はじめに

吸い込みのまわりに発生する渦は古くから bath tub vortex として知られ、台風やたつ巻きのような気象現象や、サクションポンプによる排水の際の渦発生による排水効率の低下など土木工学の問題とも関連して重要であるが、その発生の機構は必ずしもはつきりしてないようである。われわれは8年前から電気的発振やベナール対流のようなエネルギーをとりこみながらそれからマクロな運動を発現する、いわゆる非平衡開放系における自己組織化の現象に興味をもって実験を重ねてきたが、2年前からは、吸い込みのまわりに発生する渦もこの種の自己励起現象の一つではないかと考えて渦流速の測定を行ってきた。^{1, 2)} その結果渦は吸い込み口から流出する流量 Q の値がある閾値を越えるときに発生し、それ以下では成長しない傾向があることがわかったが、その閾値は周囲

^{3, 4)}

の流れの状態に著しく左右されはっきりした結論を得られな
いままである。

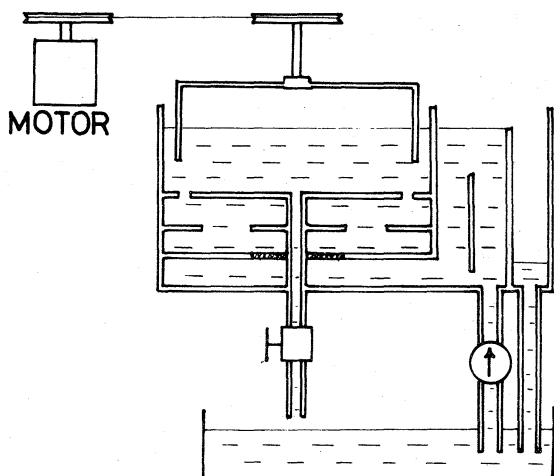
そこで境界条件が明確な二つの極端なケースとして中心に
吸い込み口がある水槽内の水にある半径の円周上で一定の速
さの回転を与えた場合と、周囲の水の流れを完全に止めた場
合について、それぞれどんな渦が発生するかを前者はレーザー
一流速計を用い後者は写真を撮ることにより調べた。ここで
は前者を強制渦、後者を自由渦と名付けることにする。

§2 強制渦

実験に用いた水槽は図1に示すようなものである。水槽へ

は下の溜めからポンプで水
を汲み上げ、汲み上げる際
に起きた水の動きとなるべ
く押さえるためにいくつも
の小孔を通して水槽へ送る。
あふれた水は水溜めへ落と
して水深を一定に保つ。水
槽内には半径 13.5 cm の円
筒板をいろいろな速さで回
転させて水に角運動量を与

図1 強制渦測定用水槽



える一方、中心の 1 cm 中の吸い込み口から水を流出させ、その流出量 Q はコックで制御した。流速の測定はレーザー流速計によった。

まず図 2 に円筒を 6 rpm の速さで回転させた場合の渦流の速さ v_θ の r (中心からの距離) 依存性を示す。これによ

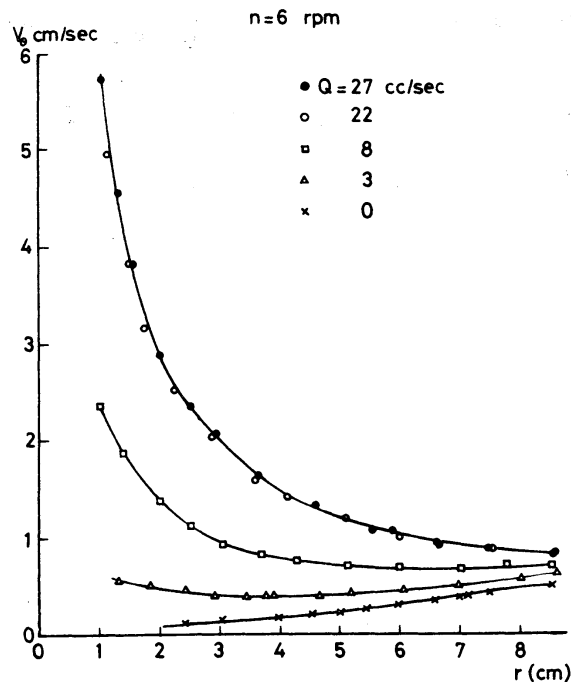
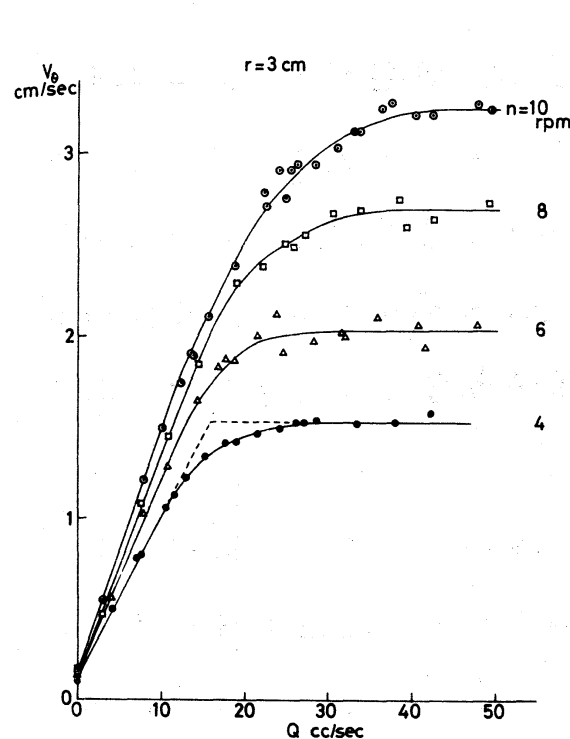
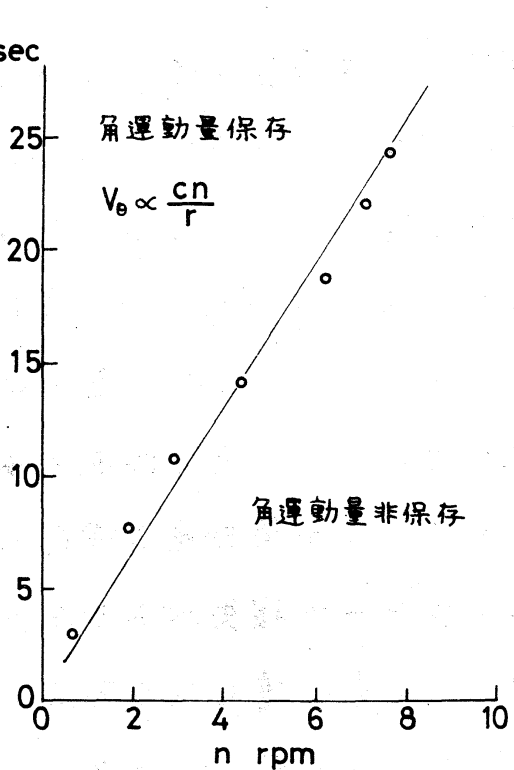


図 2 v_θ の r 依存性

ると流出量 Q がある値以上 (図では $Q = 22, 27 \text{ cc/sec}$) であると v_θ は一つに重なって Q によらなくなり、その r 依存性は $1/r$ に比例した形となる。これはいいかえれば、外側で与えた角運動量が内側でも保存されていくことを意味する。すなわち Q がある値以上であると外側で与えた角運動量はそのまま内側でも保存されるが、 Q が小さい場合には保存されない。このことは v_θ を Q の関数としてプロットした図 3 を見ても明らかである。図 3 は $r = 3 \text{ cm}$ の位置での v_θ を円筒の回転数 n (これは $r = 13.5 \text{ cm}$ の位置で水に与えた角運動量に比例する) を 13 から 3 变えた場合の Q 依存性

トした図 3 を見ても明らかである。図 3 は $r = 3 \text{ cm}$ の位置での v_θ を円筒の回転数 n (これは $r = 13.5 \text{ cm}$ の位置で水に与えた角運動量に比例する) を 13 から 3 变えた場合の Q 依存性

図3 V_θ の Q 依存性図4 角運動量を保存する渦と
保存しない渦の相図

のグラフであるが、図から明らかなように Q の小さい範囲では V_θ は Q と共に増加しているがある値以上では Q によらず一定になる。両者の境目は n によって異なり、また一定になった領域では V_θ は n に比例し、 \uparrow 依存性を調べると \downarrow に反比例している。

結局吸込みをもつ強制渦は外から与えた角運動量を中心部分まで保存する渦と保存しない渦とに分けることができ、前者は流出量 Q が大きく、与える角運動量が小さい場合に実現し、後者はその逆の場合に見られる。その移り変りは図3で

見るようには多少の幅をもつてはいるが、同図で $n=4$ の場合の実線で示したように 2 本の直線を延長して交換によって角運動量を保存する渦と保存しない渦の境界を決め、これを Γ と Q の平面上の相図として表わしたのが図 4 である。相図は直線によって二分され、左上側は角運動量を保存する渦、右下側は保存しない渦の領域である。

ところで角運動量を保存しない渦が生じるのは粘性によるエネルギーの損失があるためであるが、粘性が強く効くのは水槽の底に接した境界層の部分の苦である。そこで底から距離 z の関数として渦流速 U_θ とともに動径方向の流速 U_r を測定した。その結果を図 5 に示す。図からわかるように U_θ は

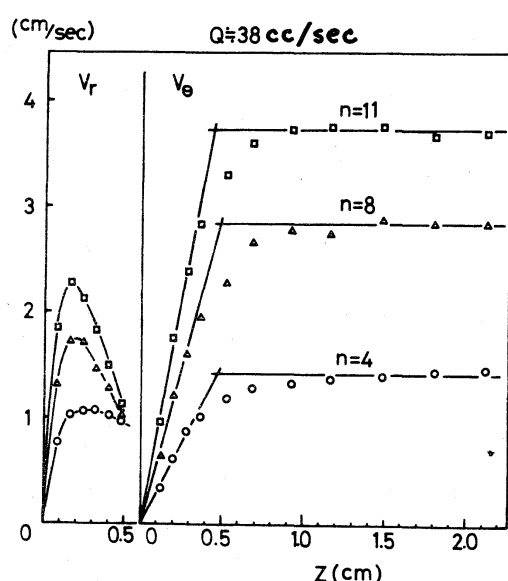


図 5 U_r と U_θ の z (底からの高さ) 依存性

$z > 1\text{ cm}$ では一定であるが、特に 0.5 cm 以下では急激に減少する。一方 U_r は $z \approx 0.2\text{ cm}$ あたりで最大値をとり、その値は外周で与えた回転数 n に比例している。境界層の厚さは大体 0.5 cm 程度とみなすことができ、その中では渦流は急激に減少しているが、吸込み口へ向かう動径方向の流れはむしろ境界層

内に集中していふといふ。

さて、 Q と η の値いかんによつて角運動量を保存する渦と保存しない渦が実現する実験事実を Navier-Stokes の方程式から出発して定性的に説明してみよう。まず円筒座標で表わした Navier-Stokes の方程式

$$\frac{\partial U_r}{\partial t} = -U_r \frac{\partial U_r}{\partial r} - \frac{U_\theta}{r} \frac{\partial U_r}{\partial \theta} + \boxed{\frac{U_\theta^2}{r}} - U_z \frac{\partial U_r}{\partial z} + \frac{F_r}{\rho} - \frac{1}{\rho} \frac{\partial p}{\partial r} + \nu \left(\frac{\partial^2 U_r}{\partial r^2} + \frac{1}{r} \frac{\partial U_r}{\partial r} - \frac{U_r}{r^2} + \frac{1}{r^2} \frac{\partial^2 U_r}{\partial \theta^2} - \frac{2}{r^2} \frac{\partial U_\theta}{\partial \theta} + \frac{\partial^2 U_r}{\partial z^2} \right) \quad (1)$$

$$\frac{\partial U_\theta}{\partial t} = -U_r \frac{\partial U_\theta}{\partial r} - \frac{U_\theta}{r} \frac{\partial U_\theta}{\partial \theta} - \boxed{-\frac{U_r U_\theta}{r}} - U_z \frac{\partial U_\theta}{\partial z} + \frac{F_\theta}{\rho} - \frac{1}{\rho r} \frac{\partial p}{\partial \theta} + \nu \left(\frac{\partial^2 U_\theta}{\partial r^2} + \frac{1}{r} \frac{\partial U_\theta}{\partial r} - \frac{U_\theta}{r^2} - \frac{1}{r^2} \frac{\partial^2 U_\theta}{\partial \theta^2} + \frac{2}{r^2} \frac{\partial U_r}{\partial \theta} + \frac{\partial^2 U_\theta}{\partial z^2} \right) \quad (2)$$

から出発する。ここで ρ は密度、 ν は動粘性係数である。
います流れは等方的な2次元流であると考え、 U_r , U_θ ともに z および θ 依存性がないものとし、また $F_r=0$, $F_\theta=0$, $\partial p/\partial \theta=0$ として下線をほどこした項をすべて省略する。

ところが(1), (2)を比較すると動径方向の流れ U_r から渦流 U_θ へエネルギーが絶えず移乗されていふことが次のようにしてわかる。すなはち(1)に ρU_r , (2)に ρU_θ を掛けると左辺はそれぞれ $\frac{d}{dt} \left(\frac{\rho}{2} U_r^2 \right)$, $\frac{d}{dt} \left(\frac{\rho}{2} U_\theta^2 \right)$ となり運動のエネルギーの時間変化を表わすが、右辺の $\boxed{\quad}$ で囲んだ第3項はそれぞれ $\frac{\rho}{r} U_\theta^2 U_r$, $-\frac{\rho}{r} U_\theta^2 U_r$ と符号が逆で絶対値が

等しくなる。いまの場合、吸込口へ向かう動径方向の流れを考えていて $v_r < 0$ であるから、上記のこととは動径方向の流れから渦流へ $\left| \frac{Q}{r} v_\theta^2 v_r \right|$ のエネルギーが絶えず移乗されていることを意味する。具体的には水の深さを r として先に述べたように α とまず 2 次元流と考えれば

$$v_r = -\frac{Q}{2\pi r h} \quad (3)$$

である。これを使うと (2) は

$$\frac{\partial v_\theta}{\partial t} = \left(\frac{Q}{2\pi h} - \nu \right) \frac{v_\theta}{r^2} + \left(\frac{Q}{2\pi h} + \nu \right) \frac{1}{r} \frac{\partial v_\theta}{\partial r} + \nu \frac{\partial^2 v_\theta}{\partial r^2} \quad (4)$$

となるが、この方程式は右辺の第 1 項の係数が正、 $\frac{Q}{2\pi h} > \nu$ のとき、 v_θ が時間と共に増加することを意味する。すなわち、吸込口への求心的な流れがあると、本來渦は自動的に成長する性質があることを (4) 式は示している。

さていま考えているのは強制渦であるから、求心的な流れの他にある半径の円周上で一定の v_θ を与えていく場合である。そこで $r = R$ で $v_\theta = 1$ の境界条件を与える。変数を r から $x = r/R$ ($0 \leq x \leq 1$) に変換した後 (4) を

$$\frac{\partial v_\theta}{\partial t} = \left(\frac{Q}{2\pi h} - \nu \right) \frac{v_\theta}{R^2 x^2} + \left(\frac{Q}{2\pi h} + \nu \right) \frac{1}{R^2} \frac{\partial v_\theta}{\partial x} + \frac{\nu}{R^2} \frac{\partial^2 v_\theta}{\partial x^2} \quad (5)$$

とし、(5) の定常解として

$$v_\theta = x^n \quad (6)$$

を仮定する。このとき (5) から

$$\frac{Q}{2\pi R} - \nu + \left(\frac{Q}{2\pi R} + \nu \right) n + \nu n(n-1) = 0$$

したがって $n = -1$ (7)

$$n = 1 - \frac{Q}{2\pi R \nu} \quad (8)$$

の二つの解の存在が可能となる。そこで以下これら二つの解の安定性を考えてみる。

i) 解 $v_\theta = x^{-1}$ の安定性

いま v_θ の x 依存性が x^n の形を保つにままで、 n が -1 から僅かにずれて $-1+s$ に変わったとする。すなはち

$$v_\theta = x^{-1+s} \quad (9)$$

とおくと

$$\frac{dv_\theta}{dt} = \log x \cdot x^{s-1} \frac{ds}{dt} \quad (10)$$

また (5) の右辺 $= \frac{1}{R^2} \left\{ \left(\frac{Q}{2\pi R} - \nu \right) x^{s-3} + \left(\frac{Q}{2\pi R} + \nu \right) (s-1) x^{s-3} + \nu (s-1)(s-2) x^{s-3} \right\} \quad (11)$

となる。したがって (10) と (11) とから

$$\frac{ds}{dt} = \frac{-1}{R^2 x^2 \log x} \left\{ - \left(\frac{Q}{2\pi R} - 2\nu \right) s - \nu s^2 \right\} \quad (12)$$

となり $\frac{Q}{2\pi R} > 2\nu$ ならば s は 0 に戻るからこの解は安定で

あるが、 $\frac{Q}{2\pi R} < 2\nu$ ならば解は不安定で最終的には $S = 2 - \frac{Q}{2\pi R\nu}$ したがって (8) に対応するもう一つの解 $U_0 = x^{1 - \frac{Q}{2\pi R\nu}}$ に落ちつくことになる。

ii) 解 $U_0 = x^{1 - \frac{Q}{2\pi R\nu}}$ の安定性

この場合も $U_0 = x^{1 - \frac{Q}{2\pi R\nu} + S}$ とおいて i) と同様に S についての方程式をつくり線形項の係数の正負から安定性を判断すると $\frac{Q}{2\pi R} < 2\nu$ のとき解は不安定であり、逆に $\frac{Q}{2\pi R} > 2\nu$ のとき不安定で、その場合最終的には i) の解 $U_0 = x^{-1}$ に落ちつくことがわかる。この結果を要約すると図 6 に示すよう

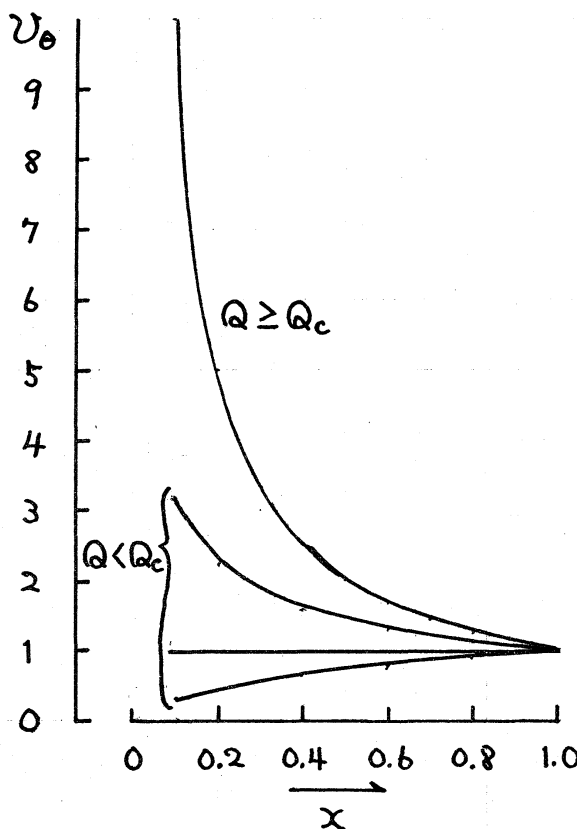


図 6 U_0 の $x (=r/R)$ 依存性

$i = Q_c = 4\pi R\nu$ を境として $Q < Q_c$ では U_0 の x 依存性は Q の値によって異なり $U_0 = x^{1 - \frac{Q}{2\pi R\nu}}$ となるが、
 $Q > Q_c$ では Q によらず $U_0 = x^{-1}$ となり図 2 の実験結果と定性的に一致する。

しかしながら以上の結果は実験事実との間に大きな二つの不一致点をもつている。その第 1 点は 2 種類の異なる解を与える臨界値 Q_c

が実験では図3あるいは図4で見るように周囲の境界値を与える回転数に依つてはるが理論では境界値には依らない矣であり、第2表は Q_c の値の定量的な不一致である。すなわち図4によれば、 Q_c は ν に依つており、その値は $5 \sim 25$ cc/sec という値であるが、理論の $Q_c = 4\pi \rho \nu l$ において実験に用いた水槽での水の深さ $l = 5 \text{ cm}$, 20°C における水の動粘性係数 $\nu = 0.01 \text{ cm}^2/\text{sec}$ を用ひると $Q_c = 0.6 \text{ cc/sec}$ と1桁以上小さな値である。

この不一致は図5に示した境界層の存在を考慮するとある程度理解できよう。図5の実験結果を模式的に描くと図7のよ

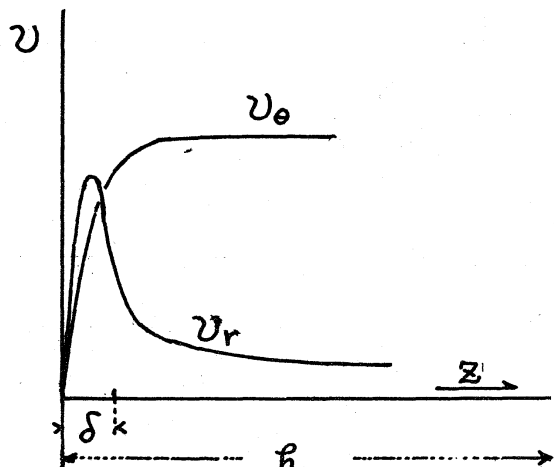


図7 U_r, U_0 の x 依存性の模式

うに吸い込みへ流れ込む水の心的流れは底から數mmの境界層内に集つてより、渦流は逆に境界層の外で発達してゐる。境界層の厚さを δ 、水深を r とするならば先に述べた2次元流の近似

による理論は U_0 が一定になつた $\delta \ll r$ の範囲で

成り立つ理論である。したがつて、そこで用ひてはいた流出量は全流出量 Q ではなく、 $\delta \ll r$ の位置を通つて吸い込み

口へ流れ込む流量

$$g = Q - 2\pi r \int_0^{\delta} U_r dz \quad (13)$$

を使わなければならぬ。そこで閾値 $4\pi r D$ も g について考えなければならぬ。

$$g_c = 4\pi (R - \delta) D \approx 4\pi R D \quad (R \gg \delta) \quad (14)$$

となり、実際には観測できる流量 Q の閾値としては (13) と (14) から

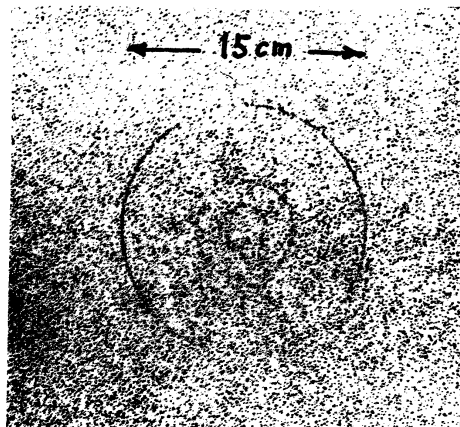
$$Q_c = 4\pi R D + 2\pi r \int_0^{\delta} U_r dz \quad (15)$$

が得られる。この式の右辺の第2項は第1項にくらべて圧倒的に大きく、 Q_c の値は第2項によって決まるとしてよい。図5によれば、 $U_r(z)$ の最大値は r に比例していから、 Q_c が r に比例して増加するという図4の結果も理解でき。

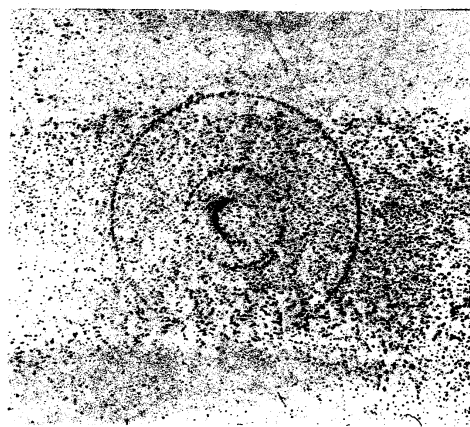
結局のところ吸い込みがある場合、成心的な流れの大部分は底に接した境界層内を流れており、境界層外を流れる残りの部分と動粘性係数の効果との競合によって角運動量を保存する渦が実現したり、保存しない渦が実現したりすると考えてよさそうである。しかしながら、成心的な流速 U_r が何故境界層内でのみ大きいか、その理由が理解された段ではないから、本質はむしろ境界層内の流れの構造というよりむずかしい問題に押いやられたともいえよう。

§3 自由渦

周囲の水の流れを完全に止めた状態で吸い込ロから水を流出させるとき渦ができるかどうか、できるとすれば右巻きか左巻きかという問題はもっとも本質的である。これを調べるために、水を周囲から供給しながら測定したのでどうしても周辺に水の流れが生じるので、水深を一歩に保つことはあきらめ、大きな水槽を使って水を供給しない状態で実験を行った。すなわち 1m四方の水槽に水を満してアルミニウムの微粉末を浮かべ、数時間経って水の流れが完全に止ったと思われる状態にしてから流出孔のコックを開き、サクションポンプで水を抜き、113113なる Q に対して発生する渦の状態を観察した。図 8 はその写真の一例である。これによると $Q = 136 \text{ cc/sec}$ までは渦は形成されていないが、 $Q = 193 \text{ cc/sec}$ では渦に近い動きが現われ、 $Q = 229, 346, 490 \text{ cc/sec}$ と



(a) $Q = 0 \text{ cc/sec}$



(b) $Q = 44 \text{ cc/sec}$

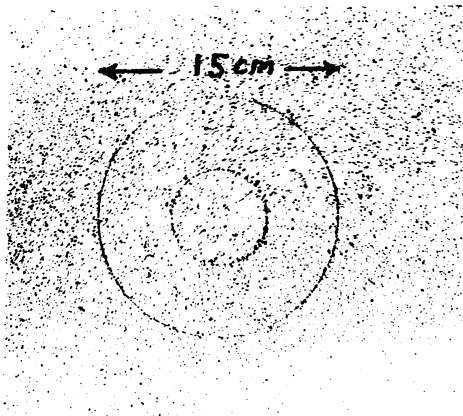
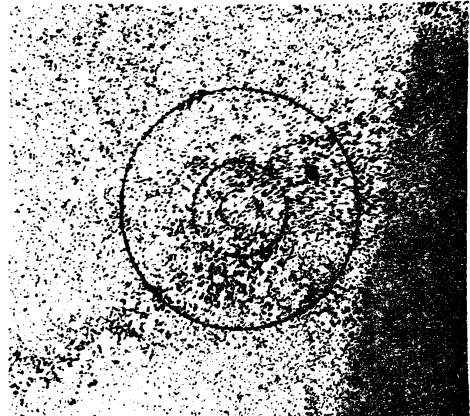
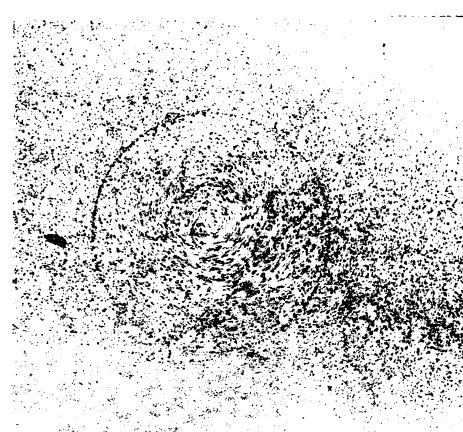
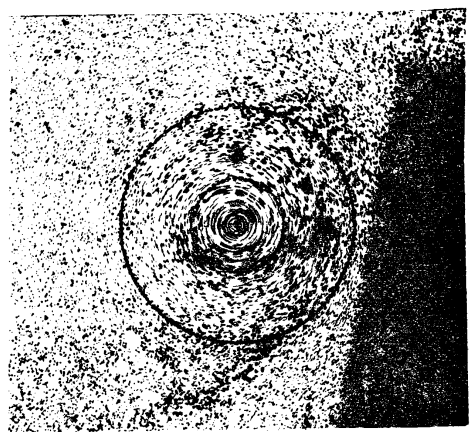
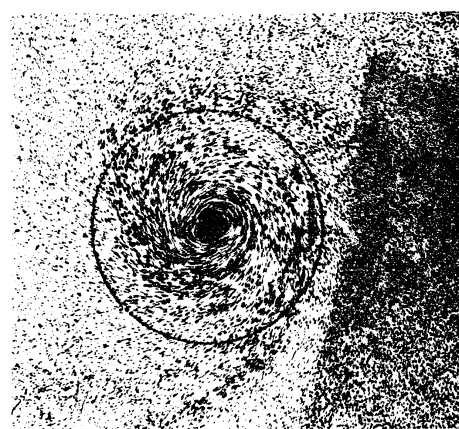
(c) $Q = 136 \text{ cc/sec}$ (d) $Q = 193 \text{ cc/sec}$ (e) $Q = 229 \text{ cc/sec}$ (f) $Q = 346 \text{ cc/sec}$ (g) $Q = 490 \text{ cc/sec}$

図 8 自由渦の写真
シャッター開口時間 1秒

Q が増加するにつれて、はっきりした左巻きの渦が形成されていいくのがわかる。同様の観測を 8 回行つたが、いずれも $Q = 150 \text{ cc/sec}$ 程度から中心に近い部分で回転が始まり、回転の向きはいずれも最終的には左巻きになった。場合によつては一端右巻きの渦ができ、 Q を小さくことによつて左巻きに変わった場合もあつた。

意識的に回転のトルクを与えないでもこのように渦が形成されるのは、先にも述べたように、一たび微小な擾乱のような v_θ が発生すると動径方向の球心的な流れから v_θ に比例するエネルギーが移乗され、 v_θ を自励的に増加させる性質があるからである。これは式で表わせば (4) 式の右辺第 1 項 $\frac{Q}{2\pi R^2} v_\theta$ である。しかし第 1 項によつて $v_\theta = 0$ の状態が不安定になつても渦が発生するためには symmetry breaking を与えるトリガーが必要である。いいかえると (4) 式には渦を左巻きにするか右巻きにするかを決める要因は含まれていないのであって、それを決めるのはミクロでよいから左巻きか右巻きかの小さな v_θ (等方的でなくこよい) を与える外カトリガーである。このトリガーとしては二つの可能性が考えられる。一つは静止させたつもりでも周辺に僅かに残つてゐる微小な流れであり、もう一つは地球自転によるコリオリ力である。

第1の微小な流れについては、先に述べた実験では水槽に水を入れると常に右回りに流れができるように入れたにもかかわらず、発生した渦はすべて左巻きになったといふのが事実である。しかしながら水槽の底板の微妙なたわみや底にぬった塗料の凹凸の効果が皆無であったとはいがたい。一方、地球自転によるコリオリ力の影響は8回の実験の結果、すべて左巻きの渦になったことから十分考えなければならぬ要因であろう。コリオリ力は $v_r = 1 \text{ cm/sec}$ とすると、東京あたりでは加速度にして $8.6 \times 10^{-5} \text{ cm/sec}^2$ 程度の小さなものであるが、symmetry breaking を与える力は原理的にはどんなに小さくてもよい筈であるから、すべての外的な擾乱を押さえた後でもなおかつ残るものとして考えなければならぬであろう。

最後に渦が発生するための Q の閾値は実験では 150 cc/sec 程度であったが、この値は(4)式において v_0 が自己成長するための閾値 $Q_c = 2\pi R v_0$ にくらべて圧倒的に大きい。観察によると自由渦の場合も、吸込み口へ向かう求心的な流れは底に近い部分を這っており、強制渦の場合と同じく底に接した境界層が大きな損失を与えていると思われる。結局のところ、強制渦における二つの型の渦を区分けする閾値ならびに自由渦におけるその成長のための閾値を定量的に理解する

ためには、いすれの場合も境界層流の構造を解明することか
先決であるように思われる。

文 献

- 1) H. Haken, Synergetics (Springer, Berlin, 1977)
- 2) G. Nicolis and I. Prigogine, Self-Organization in Non-equilibrium Systems (Wiley, New York 1977)
小畠, 相沢訳, 散逸構造 (岩波書店, 1980)
- 3) T. Kawakubo, Y. Tsuchiya, M. Sugaya and K. Matsumura,
Phys. Letters 68A (1978) 65.
- 4) T. Kawakubo, S. Kabashima and Y. Tsuchiya, Prog. Theor.
Phys. Supplement No. 64 (1978) 150.